

# Rozwiązywanie układów równań różniczkowych zwyczajnych

Autor: Wiktor Murawski

Przedmiot: Modelowanie matematyczne  
Prowadzący: dr inż. Jakub Wagner

Politechnika Warszawska  
Wydział Matematyki i Nauk Informacyjnych

Oświadczam, że niniejsza praca, stanowiąca podstawę do uznania osiągnięcia efektów uczenia się z przedmiotu Modelowanie matematyczne, została wykonana przeze mnie samodzielnie.

Warszawa  
2 grudnia 2024

# Spis treści

<b>1</b>	<b>Lista Symboli i Akronimów</b>	<b>3</b>
<b>2</b>	<b>Wprowadzenie</b>	<b>4</b>
<b>3</b>	<b>Metodyka i Wyniki Doświadczeń</b>	<b>5</b>
3.1	Procedura dsolve . . . . .	5
3.2	Przekształcenie URRZ do postaci macierzowej . . . . .	6
3.3	Procedura ode45 . . . . .	6
3.4	Metoda 1 . . . . .	7
3.5	Metoda 2 . . . . .	8
3.6	Metoda 3 . . . . .	9
<b>4</b>	<b>Dyskusja Wyników Eksperymentów Numerycznych</b>	<b>11</b>
	<b>Bibliografia</b>	<b>13</b>
	<b>Listing Programów</b>	<b>14</b>

# 1 Lista Symboli i Akronimów

URRZ	układ równań różniczkowych zwyczajnych
$t$	zmienna skalarna, czas
$y_1(t), y_2(t), x(t)$	funkcje w dziedzinie czasu $t$
<b>A</b>	macierz $2 \times 2$ współczynników URRZ
<b>b</b>	pionowy wektor współczynników przy $x(t)$
$\mathbf{y}(t)$	pionowy wektor zawierający wartości $y_1(t)$ i $y_2(t)$ , $\mathbf{y}(t) = \begin{bmatrix} y_1(t) \\ y_2(t) \end{bmatrix}$
$h$	wartość kroku całkowania
$t_n$	wartość czasu, $t_n = t_0 + (n - 1)h$ , $n \in \mathbb{Z}^+$
$\mathbf{y}_n$	$\mathbf{y}(t_n)$
$\mathbf{f}(t_n, \mathbf{y}_n)$	funkcja określona przez URRZ: $\left. \frac{d\mathbf{y}(t)}{dt} \right _{t=t_n} = \mathbf{f}(t_n, \mathbf{y}_n)$
$N(h)$	zależna od kroku całkowania liczba punktów rozwiązania
$h_{min}$	najmniejszy badany krok całkowania
$h_{max}$	największy badany krok całkowania
$\dot{y}_1(t), \dot{y}_2(t)$	dokładne rozwiązanie URRZ
$\hat{y}_1(t, h), \hat{y}_2(t, h)$	przybliżone rozwiązanie URRZ dla kroku całkowania $h$
$c_i, a_{i,j}, w_i$	współczynniki w tabeli Butchera; $i, j \in \{1, 2, 3\}$
$\delta_1(h), \delta_2(h)$	zagregowane błędy względne dla kroku całkowania $h$

## 2 Wprowadzenie

Dany jest następujący układ równań różniczkowych zwyczajnych (URRZ):

$$\left. \begin{aligned} \frac{dy_1(t)}{dt} &= -\frac{14}{3}y_1(t) - \frac{2}{3}y_2(t) + x(t) \\ \frac{dy_2(t)}{dt} &= \frac{2}{3}y_1(t) - \frac{19}{3}y_2(t) + x(t) \end{aligned} \right\} \text{ dla } t \in [0, 8], \text{ w którym } x(t) = \exp(-t) \sin(t) \quad (1)$$

W celu rozwiązania URRZ przedstawionego w (1) dla zerowych warunków początkowych, tj.  $y_1(0) = y_2(0) = 0$ :

1. wyznaczono dokładne rozwiązanie URRZ za pomocą procedury `dsolve` (*MATLAB Symbolic Toolbox*)
2. zastosowano procedurę `ode45` (*MATLAB*), będącą zaawansowaną implementacją metody Rungego-Kutty czwartego rzędu z adaptacyjnym krokiem czasowym
3. zaimplementowano oraz zastosowano trzy inne metody dyskretne:

- metodę 1. zdefiniowaną wzorem  $\mathbf{y}_n = \mathbf{y}_{n-1} + h\mathbf{f}\left(t_{n-1} + \frac{h}{2}, \mathbf{y}_{n-1} + \frac{h}{2}\mathbf{f}(t_{n-1}, \mathbf{y}_{n-1})\right)$
- metodę 2. zdefiniowaną wzorem  $\mathbf{y}_n = \mathbf{y}_{n-2} + h\left[\mathbf{f}(t_n, \mathbf{y}_n) + \mathbf{f}(t_{n-2}, \mathbf{y}_{n-2})\right]$
- metodę 3. zdefiniowaną wzorem  $\mathbf{y}_n = \mathbf{y}_{n-1} + h \sum_{k=1}^3 w_k \mathbf{f}_k$

gdzie  $\mathbf{f}_k = \mathbf{f}\left(t_{n-1} + c_k h, \mathbf{y}_{n-1} + h \sum_{\kappa=1}^3 a_{k,\kappa} \mathbf{f}_\kappa\right)$

a współczynniki przyjmują wartości przedstawione w poniższej tabeli Butchera:

$c_1$	$a_{1,1}$	$a_{1,2}$	$a_{1,3}$	$=$	0	$\frac{1}{6}$	$-\frac{1}{6}$	0
$c_2$	$a_{2,1}$	$a_{2,2}$	$a_{2,3}$		$\frac{1}{2}$	$\frac{1}{6}$	$\frac{1}{3}$	0
$c_3$	$a_{3,1}$	$a_{3,2}$	$a_{3,3}$		1	$\frac{1}{6}$	$\frac{5}{6}$	0
	$w_1$	$w_2$	$w_3$			$\frac{1}{6}$	$\frac{2}{3}$	$\frac{1}{6}$

## 3 Metodyka i Wyniki Doświadczeń

### 3.1 Procedura dsolve

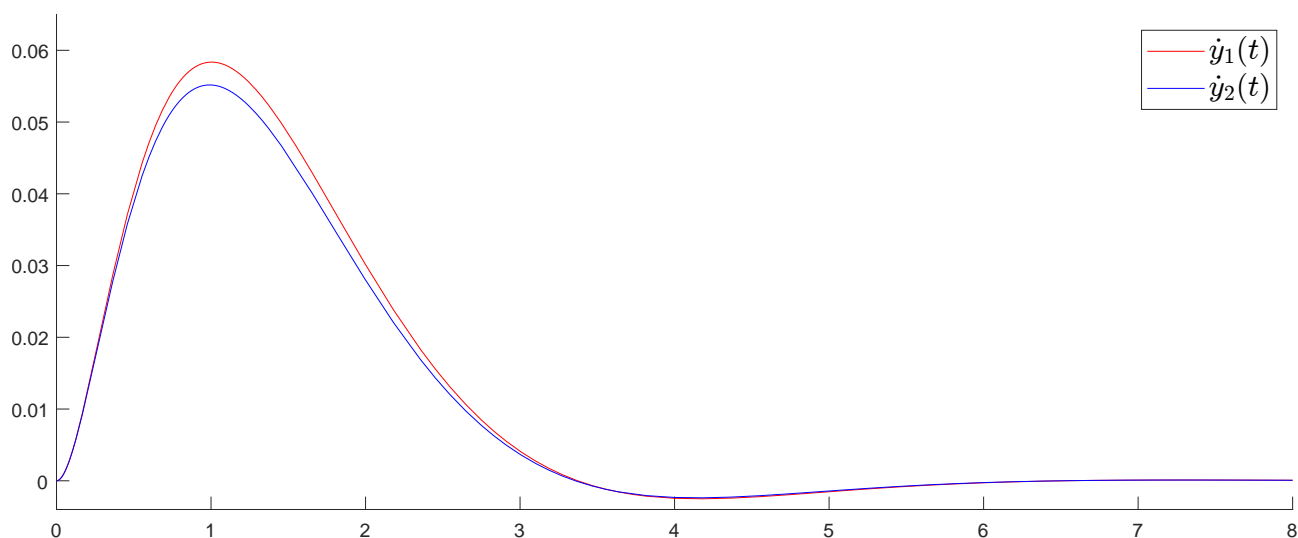
Za pomocą poniższego kodu korzystającego z procedury `dsolve` wyznaczono rozwiązanie (1)

```
1 function [y1_exact, y2_exact] = solve_using_dsolve(x)
2
3 syms t y1(t) y2(t)
4
5 eq1 = diff(y1,t,1) == -14/3*y1(t) - 2/3*y2(t) + x(t);
6 eq2 = diff(y2,t,1) == 2/3*y1(t) - 19/3*y2(t) + x(t);
7 eqns = [eq1; eq2];
8
9 cond1 = y1(0) == 0;
10 cond2 = y2(0) == 0;
11 conds = [cond1; cond2];
12
13 sol = dsolve(eqns,conds);
14 y1_exact = sol.y1;
15 y2_exact = sol.y2;
16
17 end % function
```

Uzyskano

$$\dot{y}_1(t) = -\frac{1}{2} \exp(-6t) \left( \frac{\exp(5t) (\cos(t) - 5 \sin(t))}{39} - \frac{1}{39} \right) - 2 \exp(-5t) \left( \frac{\exp(4t) (\cos(t) - 4 \sin(t))}{51} - \frac{1}{51} \right)$$
$$\dot{y}_2(t) = -\exp(-6t) \left( \frac{\exp(5t) (\cos(t) - 5 \sin(t))}{39} - \frac{1}{39} \right) - \exp(-5t) \left( \frac{\exp(4t) (\cos(t) - 4 \sin(t))}{51} - \frac{1}{51} \right)$$

Wykresy otrzymanych funkcji przedstawione są na rysunku 1.



Rysunek 1: Wykresy  $\dot{y}_1(t)$ ,  $\dot{y}_2(t)$  wyznaczonych analitycznie procedurą `dsolve`

### 3.2 Przekształcenie URRZ do postaci macierzowej

Niech  $\mathbf{y} = \begin{bmatrix} y_1 \\ y_2 \end{bmatrix}$ , wtedy  $\mathbf{y}' = \begin{bmatrix} \frac{dy_2}{dt} \\ \frac{dy_1}{dt} \end{bmatrix}$ , oraz niech  $\mathbf{f}(t, \mathbf{y}) = \mathbf{y}'$ .

Wtedy URRZ (1) można przedstawić następująco:

$$\mathbf{f}(t, \mathbf{y}) = \mathbf{A}\mathbf{y} + \mathbf{b}x(t) \quad (2)$$

gdzie

$$\mathbf{A} = \begin{bmatrix} -\frac{14}{3} & -\frac{2}{3} \\ \frac{2}{3} & -\frac{19}{3} \end{bmatrix} \quad \mathbf{b} = \begin{bmatrix} 1 \\ 1 \end{bmatrix}$$

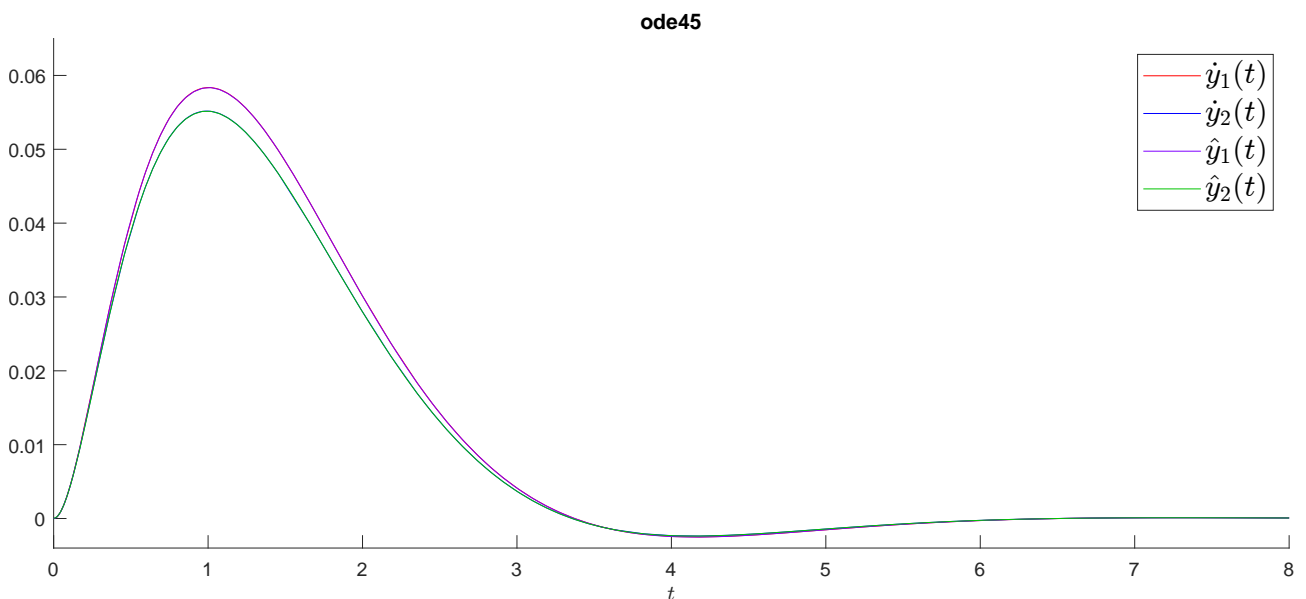
Funkcja  $\mathbf{f}(t_n, \mathbf{y}_n)$  określona jest przez  $\left. \frac{d\mathbf{y}(t)}{dt} \right|_{t=t_n} = \mathbf{f}(t_n, \mathbf{y}_n)$ .

### 3.3 Procedura ode45

Za pomocą poniższego kodu korzystającego z procedury `ode45` wyznaczono rozwiązanie (1)

```
1 % Procedura ode45
2 % Funkcja f
3 f = @(t,y) A*y + b*x(t);
4 % Przedział czasowy
5 tspan = [0, 8];
6 % Warunki początkowe
7 y0 = [0; 0];
8 % Wywołanie procedury
9 [T_ode45, y_ode45] = ode45(f, tspan, y0);
```

Wykresy  $\hat{y}_1(t)$  oraz  $\hat{y}_2(t)$  otrzymanych procedurą `ode45` są, wraz z wynikami dokładnymi, przedstawione na rysunku 2.



Rysunek 2: Wykresy  $\dot{y}_1(t)$ ,  $\dot{y}_2(t)$  oraz  $\hat{y}_1(t)$ ,  $\hat{y}_2(t)$  otrzymanych procedurą `ode45`

### 3.4 Metoda 1

Metoda 1. zdefiniowana jest wzorem

$$\mathbf{y}_n = \mathbf{y}_{n-1} + h\mathbf{f}\left(t_{n-1} + \frac{h}{2}, \mathbf{y}_{n-1} + \frac{h}{2}\mathbf{f}(t_{n-1}, \mathbf{y}_{n-1})\right) \quad (3)$$

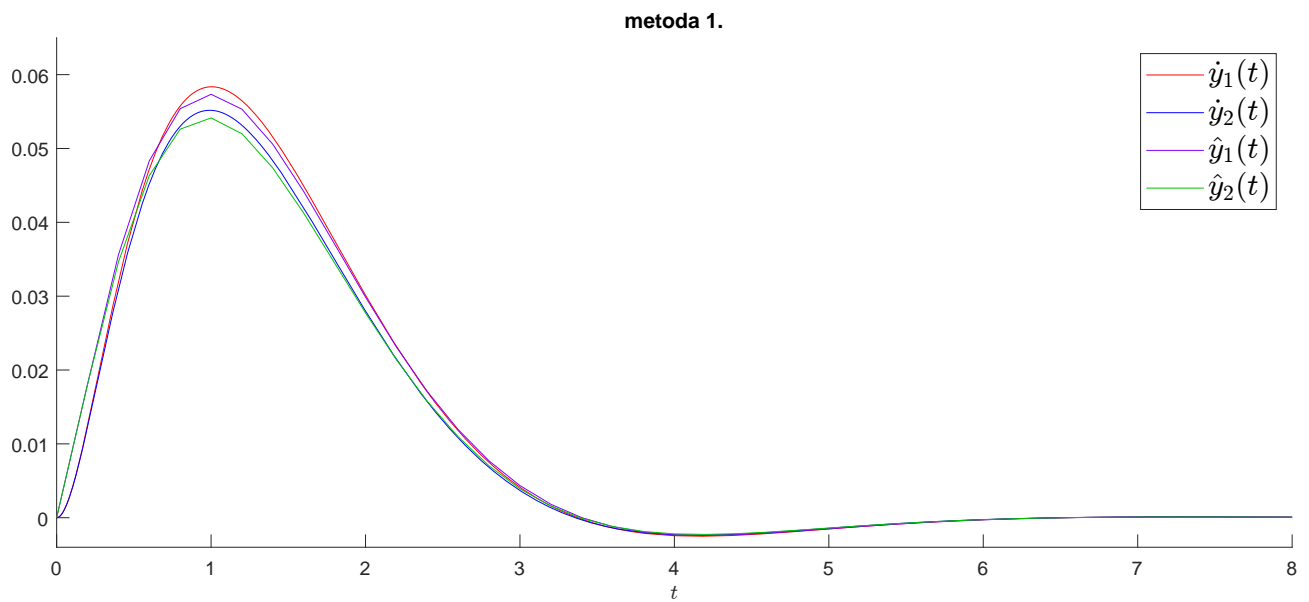
Podstawiając (2) do (3) otrzymano

$$\mathbf{y}_n = \mathbf{y}_{n-1} + h\left(A\left(\mathbf{y}_{n-1} + \frac{h}{2}\left(A\mathbf{y}_{n-1} + \mathbf{b}x(t_{n-1})\right)\right) + \mathbf{b}x\left(t_{n-1} + \frac{h}{2}\right)\right)$$

Kod zawierający implementację metody 1.:

```
1 function y = metoda1(A,b,x,h,N,t)
2
3 y = zeros(2,N);
4
5 for n = 2:N
6     y(:,n) = y(:,n-1) + ...
7         h*(A*(y(:,n-1) + h/2*(A*y(:,n-1) + b*x(t(n-1)))) + b*x(t(n-1) + h/2));
8 end % for n
9
10 end % function
```

Wykresy  $\hat{y}_1(t)$  oraz  $\hat{y}_2(t)$  otrzymanych metodą 1. są, wraz z wynikami dokładnymi, przedstawione na rysunku 3.



**Rysunek 3:** Wykresy  $\dot{y}_1(t)$ ,  $\dot{y}_2(t)$  oraz  $\hat{y}_1(t)$ ,  $\hat{y}_2(t)$  otrzymanych metodą 1. dla kroku  $h = 0.2$

### 3.5 Metoda 2

Metoda 2. jest metodą niejawną zdefiniowaną wzorem

$$\mathbf{y}_n = \mathbf{y}_{n-2} + h \left[ \mathbf{f}(t_n, \mathbf{y}_n) + \mathbf{f}(t_{n-2}, \mathbf{y}_{n-2}) \right] \quad (4)$$

Podstawiając (2) do (4) otrzymano

$$\mathbf{y}_n = \mathbf{y}_{n-2} + h \left[ (\mathbf{A}\mathbf{y}_n + \mathbf{b}x(t_n)) + (\mathbf{A}\mathbf{y}_{n-2} + \mathbf{b}x(t_{n-2})) \right]$$

Po przekształceniach

$$\mathbf{y}_n = (\mathbf{I} - h\mathbf{A})^{-1} \left( \mathbf{y}_{n-2} + h\mathbf{A}\mathbf{y}_{n-2} + h\mathbf{b}x(t_n) + h\mathbf{b}x(t_{n-2}) \right)$$

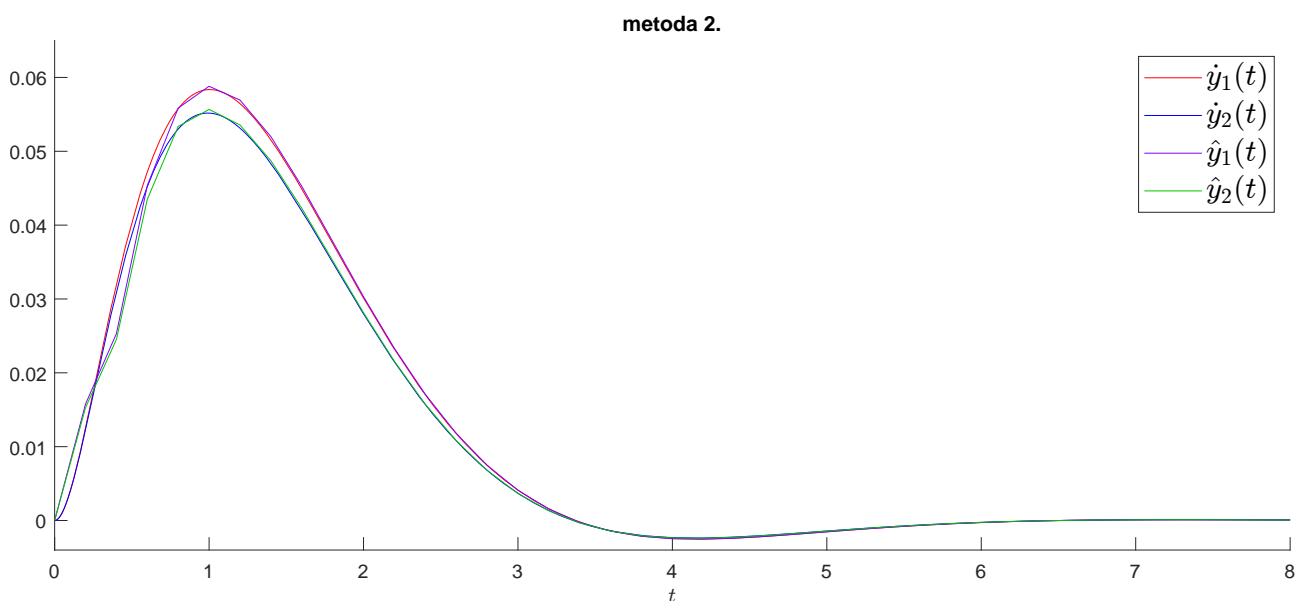
W celu wyznaczenia  $\mathbf{y}_2$  zastosowano niejawną metodę Eulera ( $\mathbf{y}_1$  to zerowy warunek początkowy)

$$\mathbf{y}_2 = (\mathbf{I} - h\mathbf{A})^{-1} (\mathbf{y}_1 + h\mathbf{b}x(t_2))$$

Kod zawierający implementację metody 2.:

```
1 function y = metoda2(A,b,x,h,N,t)
2
3 I = eye(2);
4 y = zeros(2,N);
5
6 % Niejawna metoda Eulera
7 y(:,2) = (I - h*A) \ (y(:,1) + h*b*x(t(2)));
8
9 for n = 3:N
10     y(:,n) = (I - h*A) \ ...
11         (y(:,n-2) + h*A*y(:,n-2) + h*b*x(t(n)) + h*b*x(t(n-2)));
12 end % for n
13
14 end % function
```

Wykresy  $\hat{y}_1(t)$  oraz  $\hat{y}_2(t)$  otrzymanych metodą 2. są, wraz z wynikami dokładnymi, przedstawione na rysunku 4.



**Rysunek 4:** Wykresy  $\dot{y}_1(t)$ ,  $\dot{y}_2(t)$  oraz  $\hat{y}_1(t)$ ,  $\hat{y}_2(t)$  otrzymanych metodą 2. dla kroku  $h = 0.2$



### 3.6 Metoda 3

Metoda 3. zdefiniowana jest wzorem

$$\mathbf{y}_n = \mathbf{y}_{n-1} + h \sum_{k=1}^3 w_k \mathbf{f}_k \quad (5)$$

Po rozpisaniu sumy

$$\mathbf{y}_n = \mathbf{y}_{n-1} + h(w_1 \mathbf{f}_1 + w_2 \mathbf{f}_2 + w_3 \mathbf{f}_3) \quad (6)$$

gdzie

$$\mathbf{f}_k = \mathbf{f}\left(t_{n-1} + c_k h, \mathbf{y}_{n-1} + h \sum_{\kappa=1}^3 a_{k,\kappa} \mathbf{f}_\kappa\right) \quad (7)$$

a współczynniki przyjmują wartości przedstawione w poniższej tabeli Butchera:

$$\begin{array}{c|ccc} c_1 & a_{1,1} & a_{1,2} & a_{1,3} \\ c_2 & a_{2,1} & a_{2,2} & a_{2,3} \\ c_3 & a_{3,1} & a_{3,2} & a_{3,3} \\ \hline & w_1 & w_2 & w_3 \end{array} = \begin{array}{c|ccc} 0 & \frac{1}{6} & -\frac{1}{6} & 0 \\ \frac{1}{2} & \frac{1}{6} & \frac{1}{3} & 0 \\ 1 & \frac{1}{6} & \frac{5}{6} & 0 \\ \hline & \frac{1}{6} & \frac{2}{3} & \frac{1}{6} \end{array}$$

Z (7) otrzymano

$$\begin{cases} \mathbf{f}_1 = \mathbf{A}(\mathbf{y}_{n-1} + ha_{1,1}\mathbf{f}_1 + ha_{1,2}\mathbf{f}_2 + ha_{1,3}\mathbf{f}_3) + \mathbf{b}x(t_{n-1} + c_1 h) \\ \mathbf{f}_2 = \mathbf{A}(\mathbf{y}_{n-1} + ha_{2,1}\mathbf{f}_1 + ha_{2,2}\mathbf{f}_2 + ha_{2,3}\mathbf{f}_3) + \mathbf{b}x(t_{n-1} + c_2 h) \\ \mathbf{f}_3 = \mathbf{A}(\mathbf{y}_{n-1} + ha_{3,1}\mathbf{f}_1 + ha_{3,2}\mathbf{f}_2 + ha_{3,3}\mathbf{f}_3) + \mathbf{b}x(t_{n-1} + c_3 h) \end{cases} \quad (8)$$

Przekształcając (8) otrzymano

$$\begin{cases} (\mathbf{I} - ha_{1,1}\mathbf{A})\mathbf{f}_1 - ha_{1,2}\mathbf{A}\mathbf{f}_2 - ha_{1,3}\mathbf{A}\mathbf{f}_3 = \mathbf{A}\mathbf{y}_{n-1} + \mathbf{b}x(t_{n-1} + c_1 h) \\ -ha_{2,1}\mathbf{A}\mathbf{f}_1 + (\mathbf{I} - ha_{2,2}\mathbf{A})\mathbf{f}_2 - ha_{2,3}\mathbf{A}\mathbf{f}_3 = \mathbf{A}\mathbf{y}_{n-1} + \mathbf{b}x(t_{n-1} + c_2 h) \\ -ha_{3,1}\mathbf{A}\mathbf{f}_1 - ha_{3,2}\mathbf{A}\mathbf{f}_2 + (\mathbf{I} - ha_{3,3}\mathbf{A})\mathbf{f}_3 = \mathbf{A}\mathbf{y}_{n-1} + \mathbf{b}x(t_{n-1} + c_3 h) \end{cases} \quad (9)$$

Układ (9) można przedstawić w następującej postaci:

$$\mathbf{L}\mathbf{g} = \mathbf{p} \quad (10)$$

gdzie

$$\mathbf{g} = \begin{bmatrix} \mathbf{f}_1 \\ \mathbf{f}_2 \\ \mathbf{f}_3 \end{bmatrix} \quad \mathbf{L} = \begin{bmatrix} \mathbf{I} - ha_{1,1}\mathbf{A} & -ha_{1,2}\mathbf{A} & -ha_{1,3}\mathbf{A} \\ -ha_{2,1}\mathbf{A} & \mathbf{I} - ha_{2,2}\mathbf{A} & -ha_{2,3}\mathbf{A} \\ -ha_{3,1}\mathbf{A} & -ha_{3,2}\mathbf{A} & \mathbf{I} - ha_{3,3}\mathbf{A} \end{bmatrix} \quad \mathbf{p} = \begin{bmatrix} \mathbf{A}\mathbf{y}_{n-1} + \mathbf{b}x(t_{n-1} + c_1 h) \\ \mathbf{A}\mathbf{y}_{n-1} + \mathbf{b}x(t_{n-1} + c_2 h) \\ \mathbf{A}\mathbf{y}_{n-1} + \mathbf{b}x(t_{n-1} + c_3 h) \end{bmatrix}$$

Rozwiązując układ (10) wyznaczono  $\mathbf{f}_1$ ,  $\mathbf{f}_2$  oraz  $\mathbf{f}_3$ . Następnie podstawiono otrzymane  $\mathbf{f}_i$  do (6) w celu wyliczenia  $\mathbf{y}_n$  dla  $n \geq 2$ .

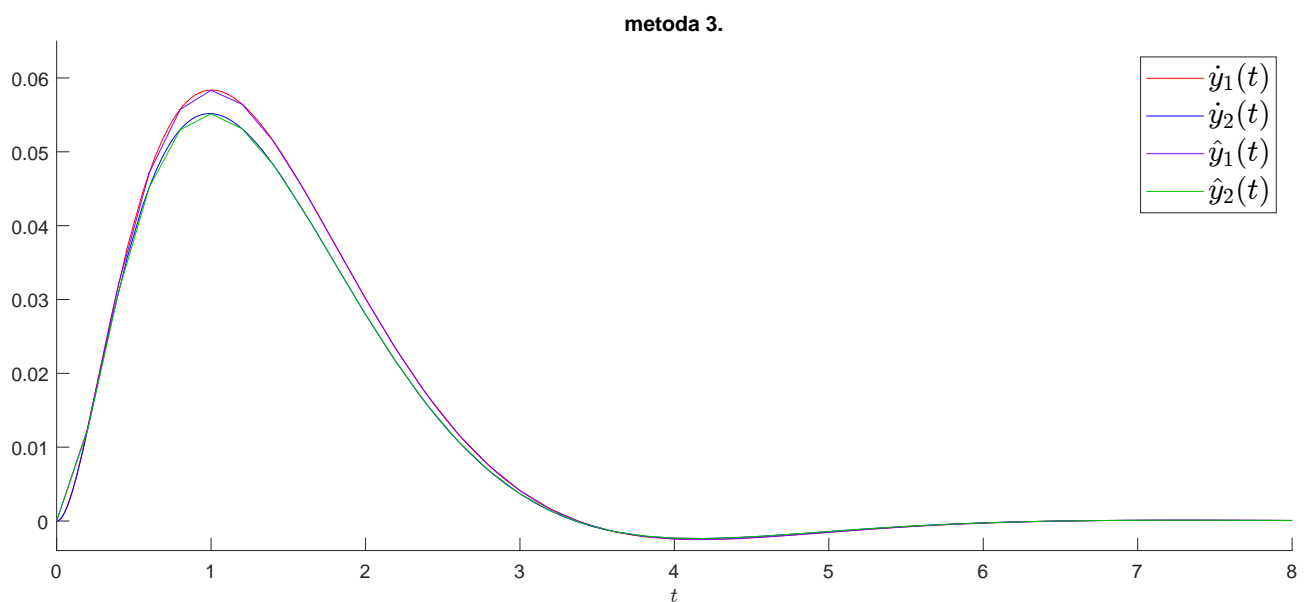
Kod zawierający implementację metody 3.:

```

1 function y = metoda3(A,b,x,h,N,t)
2
3 % Współczynniki metody 3
4 c = [ 0, 1/2, 1];
5 w = [1/6, 2/3, 1/6];
6 a = [1/6, -1/6, 0;
7      1/6, 1/3, 0;
8      1/6, 5/6, 0];
9
10 I = eye(2);
11 y = zeros(2,N);
12
13 L = [ I-h*a(1,1)*A, -h*a(1,2)*A, -h*a(1,3)*A;
14      -h*a(2,1)*A, I-h*a(2,2)*A, -h*a(2,3)*A;
15      -h*a(3,1)*A, -h*a(3,2)*A, I-h*a(3,3)*A];
16
17 for n = 2:N
18     p = [ A*y(:,n-1) + b*x(t(n-1) + c(1)*h);
19          A*y(:,n-1) + b*x(t(n-1) + c(2)*h);
20          A*y(:,n-1) + b*x(t(n-1) + c(3)*h)];
21
22     g = L \ p;
23
24     f1 = g(1:2);
25     f2 = g(3:4);
26     f3 = g(5:6);
27
28     y(:,n) = y(:,n-1) + h*(w(1)*f1 + w(2)*f2 + w(3)*f3);
29 end % for n
30
31 end % function

```

Wykresy  $\hat{y}_1(t)$  oraz  $\hat{y}_2(t)$  otrzymanych metodą 3. są, wraz z wynikami dokładnymi, przedstawione na rysunku 5.



**Rysunek 5:** Wykresy  $\dot{y}_1(t)$ ,  $\dot{y}_2(t)$  oraz  $\hat{y}_1(t)$ ,  $\hat{y}_2(t)$  otrzymanych metodą 3. dla kroku  $h = 0.2$

## 4 Dyskusja Wyników Eksperymentów Numerycznych

W ramach przeprowadzonego rozwiązywania układu równań różniczkowych zwyczajnych (URRZ) (1) uzyskano wartości funkcji  $y_1(t)$  oraz  $y_2(t)$  dla pięciu różnych podejść: analitycznego, wykorzystującego procedurę `dsolve`, oraz czterech metod numerycznych, w tym procedury `ode45` oraz trzech innych metod dyskretnych określonych jako metoda 1, metoda 2 i metoda 3.

Wyniki uzyskane przy pomocy procedury `ode45` wykazały niemal dokładną zgodność z rozwiązaniem analitycznym. Jest to zgodne z teoretycznym założeniem, że `ode45`, jako metoda adaptacyjna oparta na algorytmie Rungego-Kutty czwartego i piątego rzędu, charakteryzuje się wysoką precyzją w przypadkach, gdzie funkcje są wystarczająco gładkie. Wykresy  $\dot{y}_1(t)$  i  $\hat{y}_1(t)$  oraz  $\dot{y}_2(t)$  i  $\hat{y}_2(t)$  nałożone na siebie w tych przypadkach niemalże się pokrywają.

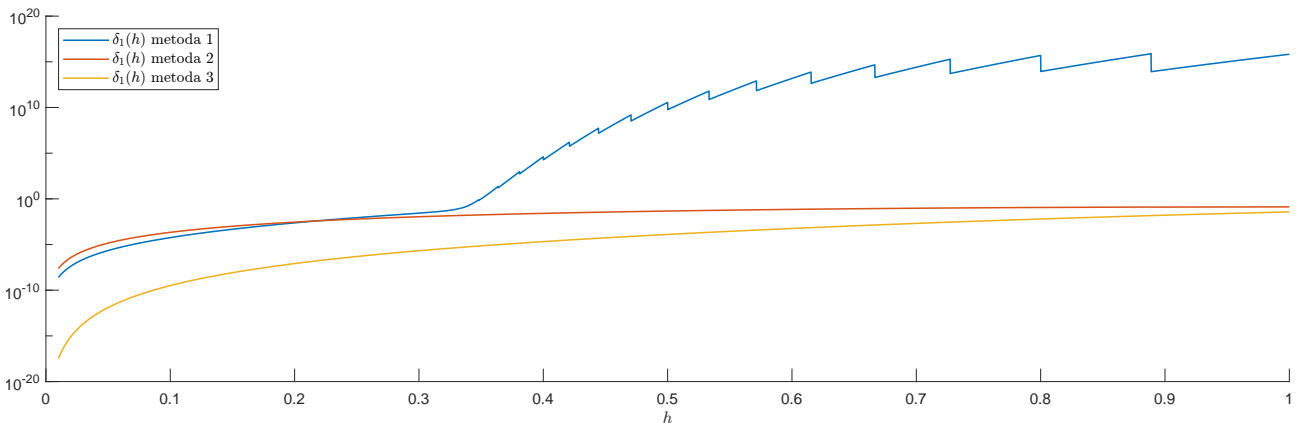
Trzy ostatnie metody okazały się zauważalnie mniej dokładne, z czego metoda 1. jest widocznie mniej dokładna niż metody 2. i 3., a metoda 3. wydaje się być dokładniejsza od metody 2., gdyż na wykresach przedstawionych na rysunku 5. wyliczone punkty pokrywają się z rozwiązaniem dokładnym częściej niż w przypadku metody 2. na rysunku 4.

W celu jednoznacznego ustalenia, która metoda daje najdokładniejsze rozwiązania, zbadano zależność dokładności rozwiązań numerycznych uzyskanych za ich pomocą od długości kroku całkowania  $h$ , dla  $h \in [0.01, 1.00]$ . Jako kryterium dokładności rozwiązań przyjęto zagregowane błędy względne zdefiniowane następująco:

$$\delta_1(h) = \frac{\sum_{n=1}^{N(h)} \left( \hat{y}_1(t_n, h) - \dot{y}_1(t_n) \right)^2}{\sum_{n=1}^{N(h)} \left( \dot{y}_1(t_n) \right)^2} \quad \text{i} \quad \delta_2(h) = \frac{\sum_{n=1}^{N(h)} \left( \hat{y}_2(t_n, h) - \dot{y}_2(t_n) \right)^2}{\sum_{n=1}^{N(h)} \left( \dot{y}_2(t_n) \right)^2}$$

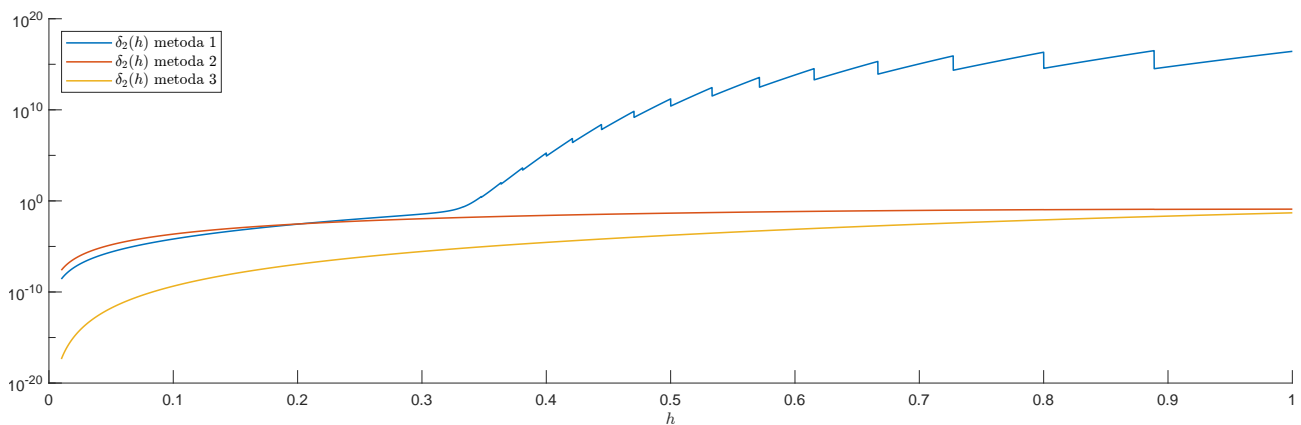
gdzie  $\dot{y}_1(t_n)$  i  $\dot{y}_2(t_n)$  to wartości funkcji uzyskanych analitycznie za pomocą procedury `dsolve`, a  $\hat{y}_1(t_n, h)$  i  $\hat{y}_2(t_n, h)$  to ich estymaty uzyskane dla kroku całkowania  $h$  numeryczną metodą dyskretną.  $N(h)$  oznacza zależną od kroku całkowania liczbę punktów rozwiązania.

Zależność  $\delta_1(h)$  od  $h$  dla trzech ostatnich metod została przedstawiona na rysunku 6.



Rysunek 6: Wykresy  $\delta_1(h)$  dla metod 1.,2.,3.

Zależność  $\delta_2(h)$  od  $h$  dla trzech ostatnich metod została przedstawiona na rysunku 7.



**Rysunek 7:** Wykresy  $\delta_2(h)$  dla metod 1.,2.,3.

Na podstawie rysunku 6. oraz rysunku 7. zaobserwowano, że metoda 3. jest najdokładniejsza spośród trzech testowanych metod, a metoda 2. jest dokładniejsza od metody 1 dla  $h$  większych niż  $h \approx 0.2$ . Dla metody 1. zaobserwowano zjawisko niestabilności numerycznej. Dla  $h$  większych niż  $h \approx \frac{1}{3}$  tempo wzrostu  $\delta_1(h)$  i  $\delta_2(h)$  znacznie rośnie, dokładność metody 1. znacznie się pogarsza.

# Bibliografia

1. Dokumentacja MATLAB: <https://www.mathworks.com/help/matlab>.

# Listing Programów

## plik Projekt1.m

```
1  % Przedział t
2  tmin = 0;
3  tmax = 8;
4
5  % Współczynniki URRZ
6  A = [-14/3, -2/3; 2/3, -19/3];
7  b = [1;1];
8
9  % Funkcja x
10 x = @(t) exp(-t)*sin(t);
11
12
13 %% Zadanie 1
14
15 [y1_exact, y2_exact] = solve_using_dsolve(x);
16 fprintf("y_1(t) = \n");
17 pretty(y1_exact);
18 fprintf("y_2(t) = \n");
19 pretty(y2_exact);
20 plot_exact(y1_exact, y2_exact, tspan)
21
22 %% Zadanie 2
23
24 % Wartość kroku
25 h = 0.2;
26
27 % Wyznaczenie N(h) oraz wektora t
28 N = floor((tmax - tmin)/h) + 1;
29 t = tmin:h:tmax;
30
31 % Procedura ode45
32 % Funkcja f
33 f = @(t,y) A*y + b*x(t);
34 % Przedział czasowy
35 tspan = [0, 8];
36 % Warunki początkowe
37 y0 = [0; 0];
38 % Wywołanie procedury
39 [T_ode45, y_ode45] = ode45(f, tspan, y0);
40
41 y_ode45 = y_ode45';
42
43 % Metoda 1
44 y_metoda1 = metoda1(A, b, x, h, N, t);
45
46 % Metoda 2
47 y_metoda2 = metoda2(A, b, x, h, N, t);
48
49 % Metoda 3
50 y_metoda3 = metoda3(A, b, x, h, N, t);
51
52 plot_results(tspan, y1_exact, y2_exact, ...
53     T_ode45, y_ode45, t, y_metoda1, y_metoda2, y_metoda3);
54
```

```

55
56 %% Zadanie 3
57
58 y1_dot = matlabFunction(y1_exact);
59 y2_dot = matlabFunction(y2_exact);
60
61 n = 1e4;
62 hmin = 0.01;
63 hmax = 1.00;
64 h_range = linspace(hmin,hmax,n);
65
66 delta11 = zeros(n,1);
67 delta12 = zeros(n,1);
68 delta21 = zeros(n,1);
69 delta22 = zeros(n,1);
70 delta31 = zeros(n,1);
71 delta32 = zeros(n,1);
72
73 for i = 1:n
74     h = h_range(i);
75     N = floor((tmax - tmin)/h) + 1;
76     t = tmin:h:tmax;
77
78     y1 = metoda1(A,b,x,h,N,t);
79     y2 = metoda2(A,b,x,h,N,t);
80     y3 = metoda3(A,b,x,h,N,t);
81
82     [delta11(i), delta12(i)] = calculate_error(y1,y1_dot,y2_dot,t,N);
83     [delta21(i), delta22(i)] = calculate_error(y2,y1_dot,y2_dot,t,N);
84     [delta31(i), delta32(i)] = calculate_error(y3,y1_dot,y2_dot,t,N);
85 end % for h
86
87 % Wykresy błędów zagregowanych w zależności od h
88 figure(3);clf;
89 subplot(2,1,1);
90 hold on;
91 yscale('log');
92 xlabel('$h$', 'Interpreter','latex');
93 plot(h_range,delta11,'DisplayName','$\delta_1(h)$ metoda 1','LineWidth',1);
94 plot(h_range,delta21,'DisplayName','$\delta_1(h)$ metoda 2','LineWidth',1);
95 plot(h_range,delta31,'DisplayName','$\delta_1(h)$ metoda 3','LineWidth',1);
96 lgd = legend('show','Interpreter','latex','Location','northwest');
97 set(lgd, 'FontSize', 10);
98
99 subplot(2,1,2);
100 hold on;
101 yscale('log');
102 xlabel('$h$', 'Interpreter','latex');
103 plot(h_range,delta12,'DisplayName','$\delta_2(h)$ metoda 1','LineWidth',1);
104 plot(h_range,delta22,'DisplayName','$\delta_2(h)$ metoda 2','LineWidth',1);
105 plot(h_range,delta32,'DisplayName','$\delta_2(h)$ metoda 3','LineWidth',1);
106 lgd = legend('show','Interpreter','latex','Location','northwest');
107 set(lgd, 'FontSize', 10);

```

## plik solve\_using\_dsolve.m

```
1 function [y1_exact, y2_exact] = solve_using_dsolve(x)
2
3 syms t y1(t) y2(t)
4
5 eq1 = diff(y1,t,1) == -14/3*y1(t) - 2/3*y2(t) + x(t);
6 eq2 = diff(y2,t,1) == 2/3*y1(t) - 19/3*y2(t) + x(t);
7 eqns = [eq1; eq2];
8
9 cond1 = y1(0) == 0;
10 cond2 = y2(0) == 0;
11 conds = [cond1; cond2];
12
13 sol = dsolve(eqns,conds);
14 y1_exact = sol.y1;
15 y2_exact = sol.y2;
16
17 end % function
```

## plik plot\_exact.m

```
1 function [] = plot_exact(y1_exact,y2_exact,tspan)
2 y_lim = [-0.004,0.065];
3 latex_y1_dot = '$\dot{y}_1(t)$';
4 latex_y2_dot = '$\dot{y}_2(t)$';
5 figure(1);clf;
6 hold on;
7 ylim(y_lim);
8 xlabel('$t$', 'Interpreter','latex');
9 fplot(y1_exact,tspan,'DisplayName',latex_y1_dot,'Color','r');
10 fplot(y2_exact,tspan,'DisplayName',latex_y2_dot,'Color','b');
11 lgd = legend('show', 'Interpreter', 'latex');
12 set(lgd, 'FontSize', 16);
13 end
```

## plik metoda1.m

```
1 function y = metoda1(A,b,x,h,N,t)
2
3 y = zeros(2,N);
4
5 for n = 2:N
6     y(:,n) = y(:,n-1) + ...
7         h*(A*(y(:,n-1) + h/2*(A*y(:,n-1) + b*x(t(n-1)))) + b*x(t(n-1) + h/2));
8 end % for n
9
10 end % function
```



## plik metoda2.m

```
1 function y = metoda2(A,b,x,h,N,t)
2
3 I = eye(2);
4 y = zeros(2,N);
5
6 % Niejawna metoda Eulera
7 y(:,2) = (I - h*A) \ (y(:,1) + h*b*x(t(2)));
8
9 for n = 3:N
10     y(:,n) = (I - h*A) \ ...
11         (y(:,n-2) + h*A*y(:,n-2) + h*b*x(t(n)) + h*b*x(t(n-2)));
12 end % for n
13
14 end % function
```

## plik metoda3.m

```
1 function y = metoda3(A,b,x,h,N,t)
2
3 % Współczynniki metody 3
4 c = [ 0, 1/2, 1];
5 w = [1/6, 2/3, 1/6];
6 a = [1/6, -1/6, 0;
7      1/6, 1/3, 0;
8      1/6, 5/6, 0];
9
10 I = eye(2);
11 y = zeros(2,N);
12
13 L = [ I-h*a(1,1)*A, -h*a(1,2)*A, -h*a(1,3)*A;
14       -h*a(2,1)*A, I-h*a(2,2)*A, -h*a(2,3)*A;
15       -h*a(3,1)*A, -h*a(3,2)*A, I-h*a(3,3)*A];
16
17 for n = 2:N
18     p = [ A*y(:,n-1) + b*x(t(n-1) + c(1)*h);
19           A*y(:,n-1) + b*x(t(n-1) + c(2)*h);
20           A*y(:,n-1) + b*x(t(n-1) + c(3)*h)];
21
22     g = L \ p;
23
24     f1 = g(1:2);
25     f2 = g(3:4);
26     f3 = g(5:6);
27
28     y(:,n) = y(:,n-1) + h*(w(1)*f1 + w(2)*f2 + w(3)*f3);
29 end % for n
30
31 end % function
```

## plik plot\_results.m

```

1 function [] = plot_results(tspan,y1_exact,y2_exact,...
2     T_ode45,y_ode45,t,y_m1,y_m2,y_m3)
3
4 y1_ode45 = y_ode45(1,:);
5 y2_ode45 = y_ode45(2,:);
6 y1_m1 = y_m1(1,:);
7 y2_m1 = y_m1(2,:);
8 y1_m2 = y_m2(1,:);
9 y2_m2 = y_m2(2,:);
10 y1_m3 = y_m3(1,:);
11 y2_m3 = y_m3(2,:);
12
13 y_lim = [-0.004,0.065];
14 colors{1} = [255 0 0];
15 colors{2} = [0 0 255];
16 colors{3} = [128 0 255];
17 colors{4} = [0 196 0];
18 for i=1:4
19     colors{i} = colors{i} / 255;
20 end
21 latex_y1_dot = '$\dot{y}_1(t)$';
22 latex_y2_dot = '$\dot{y}_2(t)$';
23 latex_y1_hat = '$\hat{y}_1(t)$';
24 latex_y2_hat = '$\hat{y}_2(t)$';
25
26 figure(2); clf;
27 subplot(2,2,1);
28 hold on;
29 ylim(y_lim);
30 xlabel('$t$', 'Interpreter', 'latex');
31 title("ode45");
32 fplot(y1_exact,tspan,...
33     'DisplayName',latex_y1_dot,'LineStyle','-','Color',colors{1});
34 fplot(y2_exact,tspan,...
35     'DisplayName',latex_y2_dot,'LineStyle','-','Color',colors{2});
36 plot(T_ode45,y1_ode45,...
37     'DisplayName',latex_y1_hat,'LineStyle','-','Color',colors{3});
38 plot(T_ode45,y2_ode45,...
39     'DisplayName',latex_y2_hat,'LineStyle','-','Color',colors{4});
40 lgd = legend('show', 'Interpreter', 'latex');
41 set(lgd, 'FontSize', 16);
42
43 subplot(2,2,2);
44 hold on;
45 ylim(y_lim);
46 xlabel('$t$', 'Interpreter', 'latex');
47 title("metoda 1.");
48 fplot(y1_exact,tspan,...
49     'DisplayName',latex_y1_dot,'LineStyle','-','Color',colors{1});
50 fplot(y2_exact,tspan,...
51     'DisplayName',latex_y2_dot,'LineStyle','-','Color',colors{2});
52 plot(t,y1_m1,...
53     'DisplayName',latex_y1_hat,'LineStyle','-','Color',colors{3});
54 plot(t,y2_m1,...
55     'DisplayName',latex_y2_hat,'LineStyle','-','Color',colors{4});
56 lgd = legend('show', 'Interpreter', 'latex');

```

```

57 set(lgd, 'FontSize', 16);
58
59 subplot(2,2,3);
60 hold on;
61 ylim(y_lim);
62 xlabel('$t$', 'Interpreter', 'latex');
63 title("metoda 2.");
64 fplot(y1_exact, tspan, ...
65 'DisplayName', latex_y1_dot, 'LineStyle', '--', 'Color', colors{1});
66 fplot(y2_exact, tspan, ...
67 'DisplayName', latex_y2_dot, 'LineStyle', '--', 'Color', colors{2});
68 plot(t, y1_m2, ...
69 'DisplayName', latex_y1_hat, 'LineStyle', '--', 'Color', colors{3});
70 plot(t, y2_m2, ...
71 'DisplayName', latex_y2_hat, 'LineStyle', '--', 'Color', colors{4});
72 lgd = legend('show', 'Interpreter', 'latex');
73 set(lgd, 'FontSize', 16);
74
75 subplot(2,2,4);
76 hold on;
77 ylim(y_lim);
78 xlabel('$t$', 'Interpreter', 'latex');
79 title("metoda 3.");
80 fplot(y1_exact, tspan, ...
81 'DisplayName', latex_y1_dot, 'LineStyle', '--', 'Color', colors{1});
82 fplot(y2_exact, tspan, ...
83 'DisplayName', latex_y2_dot, 'LineStyle', '--', 'Color', colors{2});
84 plot(t, y1_m3, ...
85 'DisplayName', latex_y1_hat, 'LineStyle', '--', 'Color', colors{3});
86 plot(t, y2_m3, ...
87 'DisplayName', latex_y2_hat, 'LineStyle', '--', 'Color', colors{4});
88 lgd = legend('show', 'Interpreter', 'latex');
89 set(lgd, 'FontSize', 16);

```

## plik calculate\_error.m

```

1 function [delta1, delta2] = calculate_error(y_hat, y1_dot, y2_dot, t, N)
2     y1_hat = y_hat(1,:);
3     y2_hat = y_hat(2,:);
4
5     top_sum1 = 0;
6     top_sum2 = 0;
7     bottom_sum1 = 0;
8     bottom_sum2 = 0;
9
10    for n = 1:N
11        top_sum1 = top_sum1 + (y1_hat(n) - y1_dot(t(n)))^2;
12        bottom_sum1 = bottom_sum1 + (y1_dot(t(n)))^2;
13        top_sum2 = top_sum2 + (y2_hat(n) - y2_dot(t(n)))^2;
14        bottom_sum2 = bottom_sum2 + (y2_dot(t(n)))^2;
15    end % for n
16    delta1 = top_sum1/bottom_sum1;
17    delta2 = top_sum2/bottom_sum2;
18
19 end % function

```